

کنترل فرونشست دشت مشهد و نیشابور بر مبنای روش تجزیه و تحلیل تغییر احنا
با استفاده از میدان جایه‌جایی حاصل از مشاهدات GPS

یزدان عامریان^۱* و بهزاد وثوقی^۱

دانشکده مهندسی نقشه‌برداری، دانشگاه صنعتی خواجه نصیرالدین طوسی، تهران، ایران.

تاریخ پذیرش: ۱۳۸۹/۰۴/۱۵ تاریخ دریافت: ۱۳۸۸/۰۸/۱۷

حکیمہ

مدل سازی هندسی تغییر شکل رویه زمین با استفاده از معیارهای متفاوتی مانند تنسور تغییر متريک یا همان تنسور کرنش)، تنسور دوران خطی و تنسور تغییر شکل نوع دوم (تنسور تغییر انحنای) با منابع گوناگون اطلاعاتی (GPS, DORIS, SLR, VLBI, Levelling) انجام می شود. در این پژوهش تنسور تغییر انحنای و کمیت های ناورادی حاصل از آن، تغییر انحنای متوسط و تغییر انحنای گوس در نگرش لاگرانژی با استفاده از اطلاعات شبکه دائم GPS برای بررسی فرونشست دشت مشهد و نیشاپور محاسبه شد. برای این منظور مختصات و بردار سرعت سال ۲۰۰۷ میلادی مربوط به شبکه دائم GPS ایران (منطقه خراسان) در چارچوب اوراسیا تجزیه و تحلیل شد. تغییر انحنای متوسط و گوس به ترتیب بیشترین مقدار $10 \times 10^{-14} \text{ myr}^{-1}$ و $10 \times 10^{-14} \text{ myr}^{-1}$ را در منطقه مورد مطالعه دارند. الگوهای حاصل از نتایج عددی، بیانگر روند تغییر شکل های ارتفاعی منطقه بهدلیل برداشت پویه رویه آب های زیرزمینی است.

کلیدوازه‌ها: تجزیه تغییر شکل، تنسور تغییر شکل نوع دوم، مشاهدات GPS، فر و نشست.

*نوهسته مسئول: ندان عام بان

مقدمه - ۱

وضعیت چپ (Left State) و پس از اعمال نیرو و تغییر شکل، وضعیت جاری (Current State) یا وضعیت راست (Right State) نامیده می‌شود. در مطالعه تغییر شکل یک جسم، وضعیت آن در حالت مرجع و جاری مقایسه می‌شود. سیستم‌های مختصات مرتبط با وضعیت مرجع با عنوان سیستم‌های مختصات لاگرانژی و یا مادی (Lagrangian or Material Coordinate System) و سیستم‌های مختصات مرتبط با وضعیت جاری با عنوان سیستم‌های مختصات اولری و یا مکانی (Eulerian or Spatial Coordinate System) شناخته می‌شوند.

رویه یا خمینه (manifold) به هر فضای مجرد ریاضی گفته می‌شود که به طور موضعی همسایگی (هر چند کوچک) شیبه به فضای اقلیدسی داشته باشد هر چند از نظر ساختار کلی می‌تواند پیچیده‌تر هم باشد. با در نظر گرفتن رویه M^2 که در فضای اقلیدسی سه بعدی E^3 تعریف شده باشد، مختصات هر نقطه از رویه را می‌توان

$$\mathbf{X} = \mathbf{X}(Q^1, Q^2) = I_K X^K \quad , \quad \mathbf{x} = \mathbf{x}(q^1, q^2) = i_k x^k \quad (11)$$

که در آن $X_{x,k}$ بردارهای موقعیت نقطه‌ای از رویه در سیستم مختصات متعامد کارترین، $X^{K,x}$ مختصات‌های بردارهای موقعیت و i_k بردارهای پایه سیستم‌های مختصات متعامد کارترین هستند. به عنوان قرارداد، مختصات کارترین نقاط با X^K و مختصات منحنی الخط نقاط با (Λ, Δ) ($\Lambda = 1, 2, 3$) ($\Delta = Q^A$) بیان می‌شود که در حالت مرجع با حروف بزرگ و در حالت جاری با حروف کوچک نشان داده می‌شود. با تعریف‌های دیفرانسیل d_x از بردارهای موقعیت، روابط جدول ۱ را خواهیم داشت که در این جدول، (A_Λ, N) (بردارهای پایه همگشت (کوریانت) سیستم مختصات منحنی الخط رویه لاغرانژی، (a_i, n) (بردارهای پایه همگشت (کوریانت) سیستم مختصات منحنی الخط رویه اولری). $(A_{\Lambda(0), q_{\Lambda(0)}})$ به ترتیب مختصات‌های همگشت تصور اساسی اول رویه (تسورو متیریک) در نگرش اولری و لاغرانژی. $(I_{\Lambda(0)}, I_{q_{\Lambda(0)}})$ به ترتیب فرم اساسی اول رویه در نگرش اولری و لاغرانژی، $(II_{\Lambda(0)}, II_{q_{\Lambda(0)}})$ به ترتیب فرم اساسی دوم رویه در نگرش اولری و لاغرانژی، $(B_{\Lambda(0)}, b_{\Lambda(0)})$ به ترتیب مختصات‌های همگشت تصور اساسی دوم رویه (تسورو انحنا) در نگرش اولری و لاغرانژی. (K, k) به ترتیب انحنای گوس در نگرش اولری و لاغرانژی و (H, h) به ترتیب انحنای متوسط در نگرش اولری و لاغرانژی هستند.

تغییر شکل رویه شامل تغییر در ویژگی‌های هندسی رویه همچون طول خطوط، زوایا و انحنا است. تغییر شکل رویه با مقایسه کمیت‌های ناوردای رویه در دو حالت مرجع (پیش از تغییر شکل) و جاری (پس از تغییر شکل) بررسی می‌شود. تجزیه و تحلیل مقایسه‌ای تنسورهای اساسی نوع اول (تسور متربیک) در دو حالت مرجع و جاری روش استاندارد بیان تغییر شکل در مکانیک محیط‌های پیوسته است. همچنین تجزیه و تحلیل مقایسه‌ای تنسورهای اساسی نوع دوم (تسور انحنا) در دو حالت مرجع و جاری به عنوان روش دیگری برای بیان تغییر شکل رویه بهروش ذاتی در تئوری پوسته‌ها، مطرح است (Voosoghi, 2000). منطقه مورد مطالعه بهدلیل برداشت آب‌های زیرزمینی شاهد پدیده نشست است. هدف این پژوهش بررسی تغییرات ارتفاعی منطقه با استفاده از تنسورهای اساسی نوع اول و دوم در حالت مرجع و جاری و محسنه کمیت‌های ناوردای حاصل از آن است.

۲- تجزیه و تحلیل تغییر شکل رویه

تغییر شکل واقعی زمین ماهیت سه بعدی دارد و در یک فضای سه بعدی اقلیدسی اتفاق می‌افتد و امکان جدایش کامل آن به تغییر شکل مستطحاتی و ارتقای وجود ندارد و فرض دو بعدی بودن تغییر شکل، بیان کاملاً از آن نخواهد بود. از طرفی تجزیه و تحلیل سه بعدی تغییر شکل پیچیده و تفسیر نتایج حاصل از آن (مثلاً تنسور تغییر شکل سه بعدی) مشکل است. مدل‌های ژئوفیزیکی نیز کرنش را در رویه واقعی زمین لازم دارند و کرنش یک سطح فرضی از فرم (سیستم تصویر) برای این امر مناسب نخواهد بود. با توجه به مسائل یادشده و این که مشاهدات ژئودتیک برای مدل‌سازی محدود بسطح زمین است، تجزیه و تحلیل تغییر شکل در رویه زمین در فضای سه بعدی اقلیدسی، گزینه‌ای مناسب خواهد بود. این روش در عین حالی که سادگی روش دو بعدی در فضای منحنی الخط را دارد، شامل هر دو مؤلفه افقی و ارتقای تغییر شکل پوسته زمین است، تجزیه و تحلیل تغییر شکل را در رویه واقعی زمین ممکن نموده و مشکلات و معایب روش‌های موجود را ندارد.

٢-١. مفاهيم

وضعیت جسم پیش از تغییر شکل، وضعیت مرجع (Reference State) یا

مختصات منحنی الخط رویه بردارها با تجزیه آنها در چهارچوب متحرک گوسی رویه در دو وضعیت مرجع و جاری به دست می‌آید. بردارهای پایه چهارچوب متحرک گوسی متشکل از دو بردار پایه مماسی و بردار نرمال یکه در نقطه از رویه در دو حالت مرجع و جاری است (شکل ۳). بردار جابه‌جایی (u) در چهارچوب متحرک رویه در دو وضعیت مرجع و جاری به شرح زیر تجزیه می‌شود:

$$\begin{aligned} u &= \bar{U}^A A_\lambda + \bar{U}^3 N & u &= \bar{U}^\lambda a_\lambda + \bar{U}^3 n \\ u &= \bar{U}_\lambda A^A + \bar{U}^3 N & u &= \bar{U}_\lambda a^\lambda + \bar{U}^3 n \end{aligned} \quad (4)$$

در رابطه (۴) مختصات‌های ناهمگشت (کنتراوریات) \bar{U}^λ و \bar{U}^3 یا مختصات‌های همگشت (کووریات) \bar{U}_λ و \bar{U}_3 به عنوان مختصات‌های بردار جابه‌جایی در سیستم مختصات منحنی الخط رویه هستند. بدليل نرمال بودن بردار N/n و معتماد بودن آن نسبت به بردارهای یکه مماسی، مؤلفه‌های آن و معکوسش یکی خواهد بود و در نتیجه مؤلفه‌های همگشت و ناهمگشت بردار جابه‌جایی نسبت به بردار نرمال یکه مساوی خواهد شد یعنی: $\bar{U}_\lambda = \bar{U}^3 = \bar{U}$. به منظور بیان تنسور تغییر شکل نوع دوم (تنسور تغییر انحنا) بر حسب مختصات منحنی الخط رویه لازم است که افزون بر بردار جابه‌جایی، مختصات‌های بردار تفاضل بردارهای نرمال یکه نیز در سیستم مختصات منحنی الخط رویه بیان شود. در روابط (۵) بردار تفاضل بردارهای نرمال یکه بر حسب مختصات‌های منحنی الخط رویه در دو نوع همگشت و ناهمگشت بیان شده است. با توجه به این روابط می‌توان تنسور تغییر شکل نوع اول (تنسور تغییر متربک) و تغییر شکل نوع دوم (تنسور تغییر انحنا) را بر حسب مختصات منحنی الخط رویه بردار جابه‌جایی و بردار تفاضل بردارهای نرمال یکه بیان کرد که جزئیات مربوط به اثبات روابط در (2000) Vosoghi آرائه شده است.

$$\begin{aligned} w &= \bar{W}^A A_\lambda + \bar{W}^3 N & w &= \bar{W}^\lambda a_\lambda + \bar{W}^3 n \\ w &= \bar{W}_\lambda A^A + \bar{W}^3 N & w &= \bar{W}_\lambda a^\lambda + \bar{W}^3 n \end{aligned} \quad (5)$$

۵. کمیت‌های ناوردای حاصل از تنسورهای تغییر شکل

مختصات‌های تنسورهای تغییر شکل معرفی شده در بخش‌های بالا و استه به مختصات رویه و در نتیجه چهارچوب متحرک مربوطه است و با تغییر مختصات نقطه، تغییر می‌کنند و از طرفی به دلیل طبیعت منحنی الخط و سه بعدی بودن مسئله، تفسیر فیزیکی مشخصی در مورد رویه تغییر شکل پذیر ندارند. بنابراین، توابع اسکالری از المان‌های تنسورهای تغییر شکل رویه‌ای را که نسبت به تغییر مختصات ناوردای باشند در نظر می‌گیریم که تفسیر فیزیکی نیز دارند. با توجه به جبر ماتریس‌ها و مسئله مقادیر ویژه، دترمینان و تریس یک تنسور مرتبه دو نسبت به تغییر مختصات ناوردای است و تغییر نمی‌کند. می‌توان مسئله مقادیر ویژه را برای زوج ماتریس‌های متقابل $\{K_{\lambda, A}\}$ و $\{K_{A, \lambda}\}$ به کار برد. مقادیر ویژه تنسور تغییر انحنای لاغرانژی و اولری به ترتیب تغییر انحنای اصلی لاغرانژی (رابطه ۶) و اولری (رابطه ۷) نامیده می‌شوند.

$$K_{\lambda} = [K_{\lambda\theta}]_{2 \times 2} \quad (6)$$

$$\Lambda''_{1,2} = \frac{1}{2} \left\{ \text{tr}(K_{\lambda} A_i^{-1}) \pm \sqrt{\left\{ \text{tr}(K_{\lambda} A_i^{-1}) \right\}^2 - 4 \det(K_{\lambda} A_i^{-1})} \right\}$$

$$K_r = [k_{\lambda\theta}]_{2 \times 2} \quad (7)$$

$$\Lambda''_{1,2} = \frac{1}{2} \left\{ \text{tr}(K_r A_r^{-1}) \pm \sqrt{\left\{ \text{tr}(K_r A_r^{-1}) \right\}^2 - 4 \det(K_r A_r^{-1})} \right\}$$

مجموع تغییر انحنای اصلی ($\Lambda''_1 + \Lambda''_2$) و تفاضل تغییر انحنای اصلی ($\Lambda''_1 - \Lambda''_2$) در وضعیت لاغرانژی یا اولری می‌تواند یک معیار ناوردای از تغییر شکل رویه باشد. انحنای متوسط (mean curvature) و انحنای گوس

۲-۲. تنسورهای تغییر شکل نوع اول (تنسور تغییر متربک) و نوع دوم (تنسور تغییر انحنا)

به منظور بررسی تغییر شکل رویه می‌توان از تفاضل فرم اساسی اول در دو حالت مرجع و جاری استفاده کرد. که این تفاضل بیانگر تغییر طول میان دو نقطه مادی یکسان در فرایند تغییر شکل است. این تفاضل منجر به معرفی تنسور تغییر شکل نوع اول (تنسور تغییر متربک) می‌شود که به عنوان تنسور کرنش نیز شناخته می‌شود. جدول ۲ تنسور تغییر شکل نوع اول (تنسور تغییر متربک) را در دو حالت لاغرانژی و اولری معرفی می‌کند، که در این جدول، $E_{\lambda\theta}$ ، $e_{\lambda\theta}$ به ترتیب مختصات‌های همگشت تنسور کرنش اولری و لاغرانژی و $C_{\lambda\theta}$ ، $c_{\lambda\theta}$ به ترتیب مختصات‌های همگشت تنسور تغییر شکل کوشی و گرین هستند.

در تجزیه و تحلیل تغییر شکل رویه می‌توان از تفاضل فرم اساسی دوم در دو حالت مرجع و جاری به عنوان یک معیار دیگر تغییر شکل استفاده کرد. این تفاضل منجر به معرفی تنسور تغییر شکل نوع دوم (تنسور تغییر انحنا) می‌شود. تنسورهای تغییر شکل نوع اول و دوم، دو معیار پایه بررسی تغییر شکل در تئوری پوسته‌ها (Pietraszkiewicz, 1977; Ernst, 1981) هستند (Shell theory) ترکیبات مختلف این دو معیار می‌تواند برای بررسی تغییر انحنا رویه مورد استفاده قرار گیرد (Pietraszkiewicz, 1977). جدول ۳ تنسور تغییر شکل نوع دوم (تنسور تغییر انحنا) را در دو حالت لاغرانژی و اولری معرفی می‌کند، که در این جدول، $K_{\lambda\theta}$ ، $k_{\lambda\theta}$ به ترتیب مختصات‌های همگشت تنسور تغییر انحنای اولری و لاغرانژی هستند.

۲-۳. تغییر شکل رویه به عنوان تابعی از بردار جابه‌جایی

در کاربردهای عملی، تغییر شکل رویه بر حسب بردار جابه‌جایی (u) بیان می‌شود. در شکل ۱ وضعیت رویه، پیش و پس از تغییر شکل نشان داده شده است. در این شکل بردار (t)، بردار موقعیت مبدأ سیستم مختصات اولری در سیستم مختصات لاغرانژی است. بردار جابه‌جایی (u)، یک بردار مستقل از سیستم مختصات است که می‌توان آن را در هر سیستم مختصاتی مورد تجزیه قرار داده و مختصات‌های آن را به دست آورد. رابطه بردار جابه‌جایی خواهد بود:

$$u = t + x - X \quad (2)$$

با قرار دادن رابطه (۲) در روابط تنسور تغییر شکل، روابط جدول ۴ برای تنسور کرنش بر حسب بردار جابه‌جایی به دست می‌آید که هیچ تقریبی در آن به کار نرفته است. به مانند تنسور کرنش، می‌توان تنسور تغییر انحنا را نیز بر حسب بردار جابه‌جایی نوشت که البته در این حالت روابط پیچیده خواهد بود (Ernst, 1980). به منظور چهه شدن بر این پیچیدگی و ساده کردن روابط، Stein (1980) یک بردار تفاضلی دیگر را نیز با عنوان بردار تفاضل بردارهای نرمال یکه به کار گرفت (شکل ۲). اگر N بردار نرمال یکه رویه در حالت مرجع و n بردار نرمال یکه رویه در حالت جاری باشد، بردار تفاضل بردارهای نرمال یکه (w) به صورت رابطه (۳) به صورت (w) خواهد بود. جدول ۵ تنسور تغییر انحنای را بر حسب بردار جابه‌جایی و بردار تفاضل بردارهای قائم یکه بیان می‌کند.

$$w = n - N \quad (3)$$

۲-۴. روش ذاتی در تجزیه تغییر شکل رویه

در نگرش ذاتی، تغییر شکل رویه در ارتباط با هندسه رویه تغییر شکل پذیر (در سیستم مختصات منحنی الخط رویه) بررسی می‌شود که این امر برای بهره‌مندی از مزایای تئوری پوسته‌ها و دوری جستن از معایب بررسی تغییر شکل در سیستم‌های مختصات کارتزین فضایی (Space Cartesian Coordinate System)، منحنی الخط فضایی (Space Curvilinear Coordinate System) و سیستم‌های تصویر (Projection) است. در نگرش ذاتی، متغیرهای تغییر شکل (تنسورهای تغییر شکل رویه ...) بر حسب مختصات‌های منحنی الخط رویه (Surface Curvilinear Coordinate) بردار جابه‌جایی و بردار تفاضل بردارهای نرمال یکه بیان می‌شود.

برای تنسورهای تغییر شکل و کمیت‌های ناوردای حاصل از آنها منجر می‌شوند. اما در عمل، روش غیرذاتی که مبتنی بر مختصات‌های منحنی الخط فضایی بردارهای جابه‌جایی است، نیازمند روش المان محدود سه‌بعدی برای برآورد عددی مشتقات نسبی مدل‌های ریاضی بوده و از سوی دیگر مزایای روش ذاتی را که روش استاندارد تجزیه و تحلیل تغییر شکل در تئوری پوسته‌ها است، را نخواهد داشت.

در ابتدا مختصات کارترین (X1,X2,X3) نقاط به مختصات ژئودتیک (L,B,H) باسطح مرجع یوضوی WSG84 تبدیل شده (McCarthy, 1996) و سپس مختصات کارترین بردار جابه‌جایی به روشنی که اشاره شد به مختصات منحنی الخط روی تبدیل گردید. از روش مثلث‌بندی Delaunay برای مشین‌بندی منطقه استفاده شد و سپس از روش المان محدود دو بعدی برای برآورده تقریبی از مشتق نسبی پرخی کمیت‌ها مانند N, W, U و H که فرم تحلیلی آنها معلوم نیست، در درون هر المان استفاده شد. در پایان تنسورهای تغییر شکل و کمیت‌های ناوردای حاصل از آنها در نگرش لگرانزی محاسبه شد. مجموع مقادیر ویژه تنسور تغییر انحنا ($\Lambda_1 + \Lambda_2$) دارای مقادیر مثبت و منفی و تفسیری همچون کمیت اتساع حاصل از تنسور کرنش است. شکل ۹ که الگوی حاصل از اتفاقی منطقه (محدوده نقاط توس و نیشاپور) است. الگوی حاصل گویای این امر است که مختصات‌های تنسور تغییر انحنا اطلاعات مربوط به تغییرات اتفاقی را دارند. تغییر انhani متوسط و گوس به عنوان کمیت‌های اسکالار ناوردای حاصل از تنسور تغییر انحنا معرفی شد (Voosoghi, 2000). مهم‌ترین ویژگی این کمیت این است که مقادیر مثبت و منفی حاصل از آن متناسب با بالا‌آمدگی و فرونشست در امتداد نرمال بر سطح است و می‌تواند برای بررسی تغییرات اتفاقی منطقه استفاده شود. تغییر انhani میانگین در واحد myr^{-10} در شکل ۱۰ نشان داده است. در این نقشه مقادیر منفی (نزدیک به رنگ آبی) نشان‌دهنده بالا‌آمدگی و مقادیر مثبت (نزدیک به رنگ سرخ) نشان‌دهنده فرونشست است. به گونه‌ای مشابه، تغییر انhani گوس در واحد myr^{-20} در شکل ۱۱ نشان‌دهنده پدیده فرونشست در منطقه مورد نظر است. تغییر انhani گوس معیاری پایدارتری است و چنان که نشان داده شده است، دارای اطلاعات گویا برتری نسبت به نقشه حاصل از رسم منحنی میزان بر حسب مؤلفه اتفاقی بردار جابه‌جایی نقاط است (Grafarend & Voosoghi, 2003). الگوهای حاصل نزدیک به الگوی حاصل از مطالعات InSAR و نشان‌دهنده پدیده فرونشست در محدوده مشهد و نیشاپور است.

۶- نتیجه‌گیری

هر چند که شبکه دائم GPS ایران برای مطالعات ژئودینامیک طراحی شده است اما قرار گرفتن اتفاقی برخی از نقاط آن در منطقه فرونشست مشهد و نیشاپور این امکان را فراهم کرد که بتوان از بردارهای جابه‌جایی حاصل از مشاهدات این نقاط در بررسی تغییرات اتفاقی منطقه استفاده کرد. الگوهای فرونشست حاصل از روش تجزیه تغییر انhani به روش ذاتی، نشان‌دهنده قابلیت این روش در بررسی تغییرات اتفاقی منطقه است. بنابراین می‌توان یک شبکه GPS محلی با توجه محدوده فرونشست حاصل از مطالعات InSAR برای بررسی تغییرات اتفاقی در منطقه ایجاد کرد. روش InSAR امکان ارائه یک مدل یا روش پیوسته از تغییرات اتفاقی منطقه را دارد اما این امر نیازمند تهیه تصویر در مقاطع زمانی و پردازش اطلاعات بوده و امری زمان بر است در حالی که شبکه GPS محلی می‌تواند با قابلیت انجام مشاهدات پیوسته به صورت یک سیستم پایش آنی در تکمیل روش InSAR عمل کند.

سپاسگزاری

از سازمان نقشه‌برداری کشور به خاطر در اختیار قرار دادن اطلاعات شبکه GPS دائم ایران تشکر می‌شود.

(Gaussian curvature) دو مقدار اسکالار ناوردای حاصل از تنسور تغییر انحنا هستند (جدول ۶) که در هندسه دیفرانسیل معرفی می‌شوند. اختلاف انحنای متوسط یا گوس در دو حالت مرجع و جاری، معیار ناوردای مناسب‌تری برای بررسی تغییر شکل رویه است که می‌توان با استفاده از آن تفسیر فیزیکی بهتری در مناطقی که بالا آمدگی یا فرونشست وجود دارد، ارائه کرد.

۳- پدیده فرونشست و نشانه‌های آن در منطقه مورد مطالعه

رشد جمعیت همراه با بهره‌برداری بی رویه از آب، اثرات نامطلوب زیادی در جنبه‌های کمی و کیفی آب به همراه داشته است. افزایش روز افزون بهره‌برداری از آب‌های زیرزمینی می‌تواند با توجه به ساختار زمین‌شناسی منطقه به فرونشست (Subsidence) سطح زمین که معمولاً با بردار جابه‌جایی افقی کوچکی همراه است، منجر شود. شاید خرابی ناشی از فرونشست زمین مانند زلزله و سیل، ناگهانی نبوده و آثار سطحی آن نیز گاه به راحتی قابل تشخیص باشد اما با وجود این، خسارات ناشی از آن برگشت ناپذیر و بسیار پر هزینه است (GSI, 2005).

دشت مشهد در حوضه رودخانه کشفر رود در شمال خاور ایران یکی از مناطقی است که طی سالیان گذشته همواره شاهد پدیده خشکسالی بوده است. این امر و گسترش روز افزون مناطق شهری و بخش کشاورزی، موجب شده است که بخش گستردگی از آب مورد نیاز برای مصارف شهری و کشاورزی به وسیله حفر چاه و استخراج آب‌های زیرزمینی تأمین شود. شکل ۴ پراکنده‌گی چاه‌ها (نقاط سرخ رنگ)، چشممه‌ها (نقاط آبی رنگ) و قنات‌های (نقاط قوهه‌ای رنگ) موجود در دشت مشهد را که موجب برداشت آب از سفره‌های آب‌های زیرزمینی منطقه می‌شوند نشان می‌دهد. این برداشت بی رویه موجب پایین آمدن سطح آب‌های زیرزمینی در منطقه شده است (Janparvar & Nairizi, 2006).

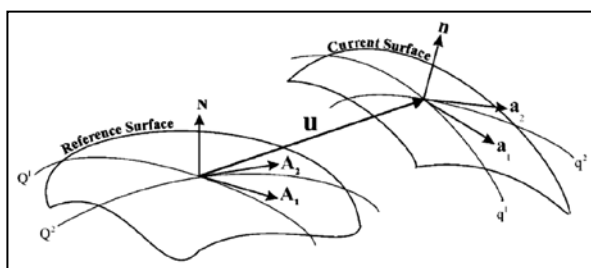
تجزیه و تحلیل نتایج حاصل از اطلاعات چاه‌های پیزومتریک در منطقه بیانگر پایین آمدن دائم سطح آب‌های زیرزمینی (حدود ۶۵ متر از سال ۱۹۶۰ تا ۲۰۰۴) است که این امر موجب پدیده فرونشست زمین در دشت مشهد شده است (Janparvar & Nairizi, 2006). شکل ۵ الگوی فرونشست منطقه مشهد حاصل از پردازش اطلاعات InSAR را نشان می‌دهد (Motagh et al., 2007). مثلاً سفیدرنگ در شکل ایستگاه توس شبکه دائم GPS است. شکل‌های ۶ و ۷ نمونه‌هایی از آثار سطحی پدیده فرونشست در مناطق شهری و کشاورزی دشت مشهد را نشان می‌دهند. نتایج حاصل از پردازش اطلاعات InSAR در منطقه نیشاپور نشان‌دهنده فرونشست دائمی و افزایشی زمین با تغییرات جزیی فضی است که بدیل برداشت بی رویه از سفره آب‌های زیرزمینی منطقه است (Dehghani et al., 2009).

۴- اطلاعات مورد استفاده

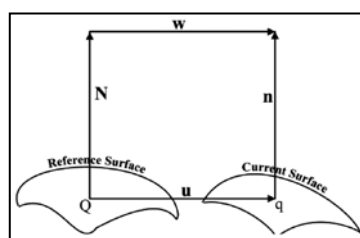
اطلاعات مورد استفاده در این پژوهش، مختصات و بردار سرعت سال ۲۰۰۷ میلادی ایستگاه از شبکه دائم GPS منطقه خراسان در چارچوب اوراسیا است. این شبکه به عنوان بخشی از شبکه دائم GPS ایران بوده و متولی آن سازمان نقشه‌برداری کشور است (شکل ۸). بردار جابه‌جایی اتفاقی در دو ایستگاه توس (۲۲- سانتی‌متر در سال) و نیشاپور (۱۰- سانتی‌متر در سال) قابل توجه و نشان‌دهنده فرونشست منطقه است. بردارهای جابه‌جایی به تهیی اطلاعات بیشتری در اختیار قرار نمی‌دهند در حالی که تجزیه و تحلیل تغییر شکل رویه به روش ذاتی می‌تواند الگو و نمایش بهتری از تغییر شکل را ارایه کند.

۵- پردازش اطلاعات

هدف این پژوهش استفاده از روش تجزیه تغییر شکل بهروش ذاتی در بررسی الگوی تغییر شکل اتفاقی منطقه مورد مطالعه است. از نقطه نظر تئوری هر دو روش غیرذاتی (Extrinsic Approach) و ذاتی (Intrinsic Approach) به نتایج یکسانی

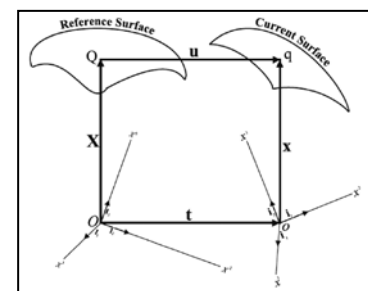


شکل ۳- چهار چوب متاخر ک گوسي رویه در حالت مرجع و جاري (Voosoghi, 2000).



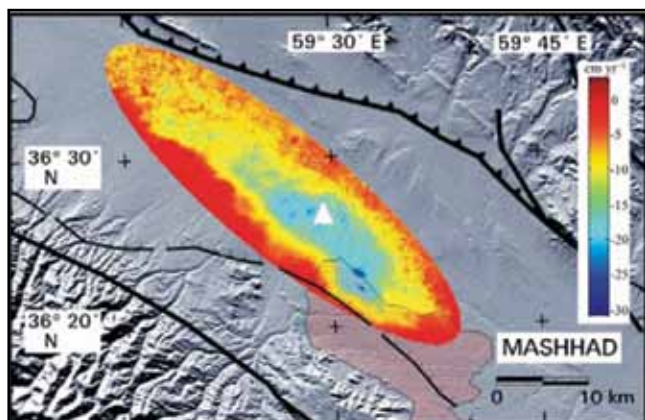
شکل ۲- بردار تفاضل بردارهای نرمال یکه و ارتباط

رویه در حالت مرجع و جاري (Voosoghi, 2000)

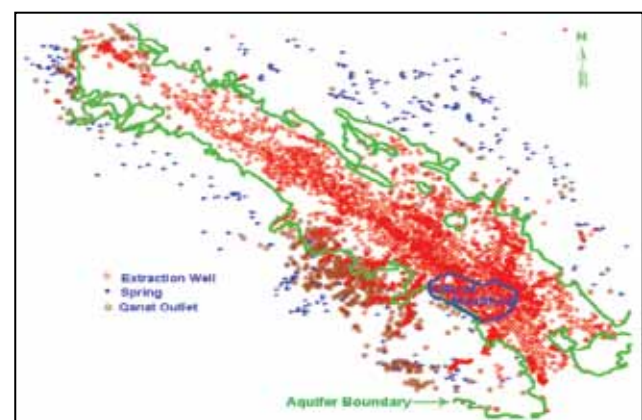


شکل ۱- بردار جابه جایی و ارتباط رویه در حالت

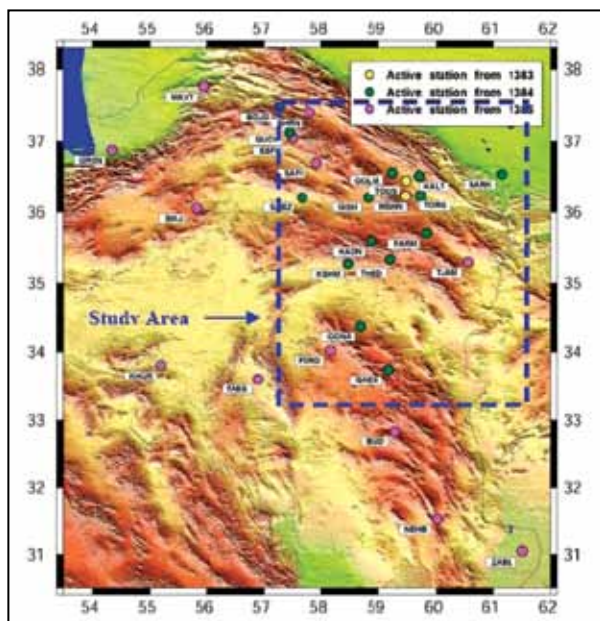
مرجع و جاري (Voosoghi, 2000)



شکل ۵- الگوی فرو نشست منطقه مشهد حاصل از پردازش اطلاعات InSAR (Motagh et al., 2007)



شکل ۴- نقشه پراکندگی نقاط برداشت آب از سفره آب‌های زیرزمینی دشت مشهد (Janparvar & Nairizi, 2006)



شکل ۸- پراکندگی نقاط شبکه دائم GPS خراسان (از سایت سازمان نقشهبرداری کشور).



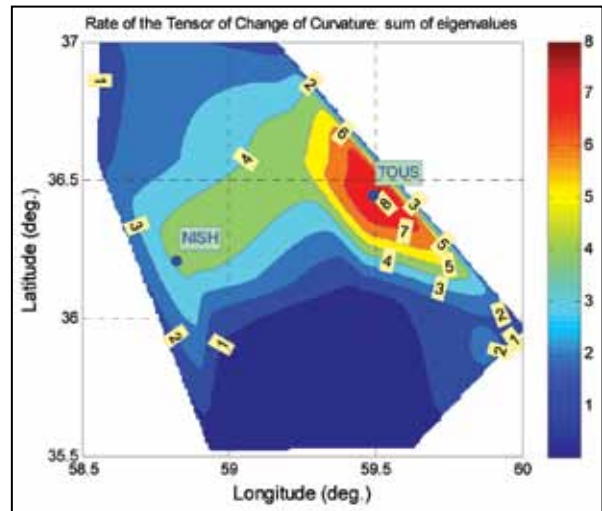
شکل ۶- ترک در دیوار ساختمانی در شهر مشهد بهدلیل پدیده
فرو نشست (Hosseini et al., 2007)



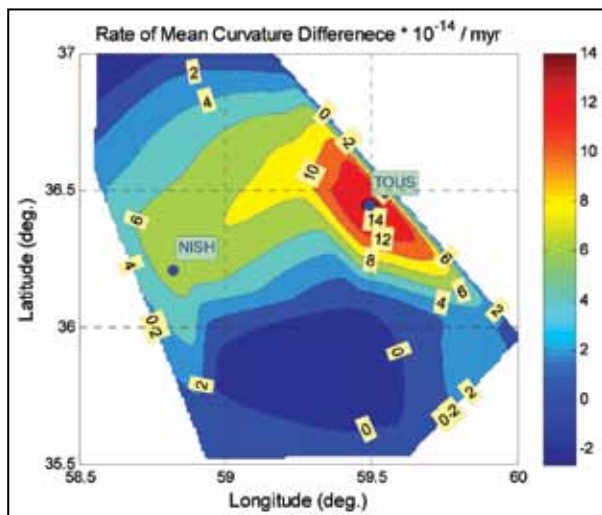
شکل ۷- شکاف در زمین کشاورزی در دشت مشهد بهدلیل
پدیده فرونشست (Motagh et al., 2007)

جدول ۱- تنسورهای مورد استفاده در بیان روابط تجزیه تغییر شکل.

| Lagrangian portrayal |
|---|
| $d\mathbf{X} = \frac{\partial \mathbf{X}}{\partial Q^\Lambda} dQ^\Lambda$ |
| $\mathbf{A}_\Lambda = \frac{\partial \mathbf{X}}{\partial Q^\Lambda}$ |
| $\mathbf{N} = \frac{\mathbf{A}_1 \times \mathbf{A}_2}{\ \mathbf{A}_1 \times \mathbf{A}_2\ } = N^K I_K$ |
| $A_{\Lambda\Theta} = \langle \mathbf{A}_\Lambda, \mathbf{A}_\Theta \rangle = \left\langle \frac{\partial \mathbf{X}}{\partial Q^\Lambda}, \frac{\partial \mathbf{X}}{\partial Q^\Theta} \right\rangle$ |
| $I_r = \langle d\mathbf{X}, d\mathbf{X} \rangle = A_{\Lambda\Theta} dQ^\Lambda dQ^\Theta$ |
| $II_r = -\langle d\mathbf{N}, d\mathbf{X} \rangle = B_{\Lambda\Theta} dQ^\Lambda dQ^\Theta$ |
| $B_{\Lambda\Theta} = -\left\langle \frac{\partial \mathbf{N}}{\partial Q^\Lambda}, \frac{\partial \mathbf{N}}{\partial Q^\Theta} \right\rangle = -\left\langle \frac{\partial \mathbf{N}}{\partial Q^\Lambda}, \mathbf{A}_\Theta \right\rangle = \langle \mathbf{N}, \frac{\partial \mathbf{A}_\Lambda}{\partial Q^\Theta} \rangle$ |
| $K = \frac{\det(B_{\Lambda\Theta})}{\det(A_{\Lambda\Theta})}$ |
| $H = \frac{1}{2} A^{\Lambda\Theta} B_{\Lambda\Theta}$ |
| Eulerian portrayal |
| $d\mathbf{x} = \frac{\partial \mathbf{x}}{\partial q^\lambda} dq^\lambda$ |
| $\mathbf{a}_\lambda = \frac{\partial \mathbf{x}}{\partial q^\lambda}$ |
| $\mathbf{n} = \frac{\mathbf{a}_1 \times \mathbf{a}_2}{\ \mathbf{a}_1 \times \mathbf{a}_2\ } = n^k i_k$ |
| $a_{\lambda\theta} = \langle \mathbf{a}_\lambda, \mathbf{a}_\theta \rangle = \left\langle \frac{\partial \mathbf{x}}{\partial q^\lambda}, \frac{\partial \mathbf{x}}{\partial q^\theta} \right\rangle$ |
| $I_r = \langle d\mathbf{x}, d\mathbf{x} \rangle = a_{\lambda\theta} dq^\lambda dq^\theta$ |
| $II_r = -\langle d\mathbf{n}, d\mathbf{x} \rangle = b_{\lambda\theta} dq^\lambda dq^\theta$ |
| $b_{\lambda\theta} = -\left\langle \frac{\partial \mathbf{n}}{\partial q^\lambda}, \frac{\partial \mathbf{x}}{\partial q^\theta} \right\rangle = -\left\langle \frac{\partial \mathbf{n}}{\partial q^\lambda}, \mathbf{a}_\theta \right\rangle = \langle \mathbf{n}, \frac{\partial \mathbf{a}_\lambda}{\partial q^\theta} \rangle$ |
| $k = \frac{\det(b_{\lambda\theta})}{\det(a_{\lambda\theta})}$ |
| $h = \frac{1}{2} a^{\lambda\theta} b_{\lambda\theta}$ |



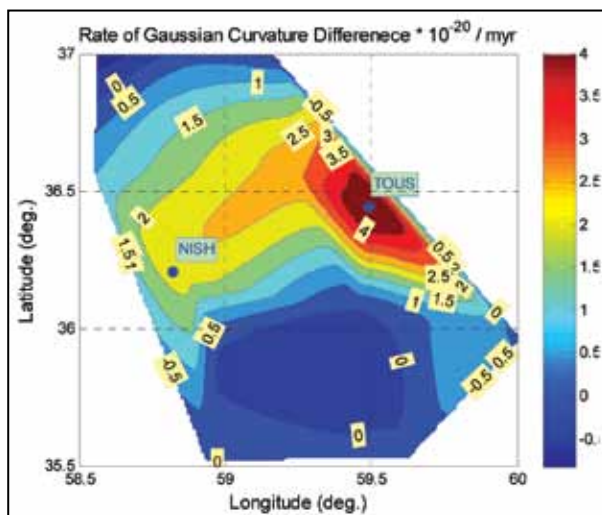
شکل ۹- مجموع تغییر انحنای اصلی.



شکل ۱۰- تغییر انحنای متوسط.

جدول ۲- تنسور تغییر شکل نوع اول (تنسور تغییر متریک).

| Lagrangian portrayal |
|---|
| $E_{\Lambda\Theta} = \frac{1}{2} (a_{\lambda\theta} \frac{\partial q^\lambda}{\partial Q^\Lambda} \frac{\partial q^\theta}{\partial Q^\Theta} - A_{\Lambda\Theta})$ |
| $= \frac{1}{2} (C_{\Lambda\Theta} - A_{\Lambda\Theta})$ |
| Eulerian portrayal |
| $e_{\lambda\theta} = \frac{1}{2} (a_{\lambda\theta} - A_{\Lambda\Theta} \frac{\partial Q^\Lambda}{\partial q^\lambda} \frac{\partial Q^\Theta}{\partial q^\theta})$ |
| $= \frac{1}{2} (a_{\lambda\theta} - c_{\lambda\theta})$ |



شکل ۱۱- تغییر انحنای گوس

جدول ۴- تنسور تغییر شکل نوع اول (تنسور تغییر متريک) بر حسب بردار جابه‌جایی.

| Lagrangian portrayal |
|--|
| $E_{\Lambda\Theta} = \frac{1}{2} \left(\langle \frac{\partial \mathbf{u}}{\partial Q^\Lambda}, \frac{\partial \mathbf{X}}{\partial Q^\Theta} \rangle + \langle \frac{\partial \mathbf{X}}{\partial Q^\Lambda}, \frac{\partial \mathbf{u}}{\partial Q^\Theta} \rangle + \langle \frac{\partial \mathbf{u}}{\partial Q^\Lambda}, \frac{\partial \mathbf{u}}{\partial Q^\Theta} \rangle \right)$ |
| Eulerian portrayal |
| $e_{\lambda\theta} = \frac{1}{2} \left(\langle \frac{\partial \mathbf{u}}{\partial q^\lambda}, \frac{\partial \mathbf{x}}{\partial q^\theta} \rangle + \langle \frac{\partial \mathbf{x}}{\partial q^\lambda}, \frac{\partial \mathbf{u}}{\partial q^\theta} \rangle + \langle \frac{\partial \mathbf{u}}{\partial q^\lambda}, \frac{\partial \mathbf{u}}{\partial q^\theta} \rangle \right)$ |

جدول ۳- تنسور تغییر شکل نوع دوم (تنسور تغییر احنا).

| Lagrangian portrayal |
|---|
| $K_{\Lambda\Theta} = b_{\lambda\theta} \frac{\partial q^\lambda}{\partial Q^\Lambda} \frac{\partial q^\theta}{\partial Q^\Theta} - B_{\Lambda\Theta}$ |
| Eulerian portrayal |
| $k_{\lambda\theta} = b_{\lambda\theta} - B_{\Lambda\Theta} \frac{\partial Q^\Lambda}{\partial q^\lambda} \frac{\partial Q^\Theta}{\partial q^\theta}$ |

جدول ۶- تغییر احنا میانگین و گوس

| Lagrangian portrayal | Eulerian portrayal |
|--|---|
| The change of mean curvature: $h - H = \frac{1}{2} [A^{\Lambda\Theta} K_{\Lambda\Theta} + 2E^{\Lambda\Theta} B_{\Lambda\Theta} + 2E^{\Lambda\Theta} K_{\Lambda\Theta}]$ | $h - H = \frac{1}{2} [a^{\lambda\theta} b_{\lambda\theta} + 2e^{\lambda\theta} b_{\lambda\theta} - 2e^{\lambda\theta} k_{\lambda\theta}]$ |
| Eulerian portrayal | |
| The change of Gaussian curvature: $k - K = \frac{\det(b_{\lambda\theta})}{\det(a_{\lambda\theta})} - \frac{\det(B_{\Lambda\Theta})}{\det(A_{\Lambda\Theta})}$ $= \frac{\det(B_{\Lambda\Theta} + K_{\Lambda\Theta})}{\det(A_{\Lambda\Theta} + 2E_{\Lambda\Theta})} - \frac{\det(B_{\Lambda\Theta})}{\det(A_{\Lambda\Theta})}$ | $k - K = \frac{\det(b_{\lambda\theta})}{\det(a_{\lambda\theta})} - \frac{\det(B_{\Lambda\Theta})}{\det(A_{\Lambda\Theta})}$ $= \frac{\det(b_{\lambda\theta})}{\det(a_{\lambda\theta})} - \frac{\det(b_{\lambda\theta} - k_{\lambda\theta})}{\det(a_{\lambda\theta} - 2e_{\lambda\theta})}$ |

جدول ۵- تنسور تغییر شکل نوع دوم (تنسور تغییر احنا) بر حسب
بردار جابه‌جایی و بردار تفاضل بردارهای عادی یکه.

| Lagrangian portrayal |
|--|
| $K_{\Lambda\Theta} = -\langle \frac{\partial \mathbf{w}}{\partial Q^\Lambda}, \frac{\partial \mathbf{X}}{\partial Q^\Theta} \rangle - \langle \frac{\partial \mathbf{w}}{\partial Q^\Lambda}, \frac{\partial \mathbf{u}}{\partial Q^\Theta} \rangle - \langle \frac{\partial \mathbf{n}}{\partial Q^\Lambda}, \frac{\partial \mathbf{u}}{\partial Q^\Theta} \rangle$ |
| Eulerian portrayal |
| $k_{\lambda\theta} = -\langle \frac{\partial \mathbf{w}}{\partial q^\lambda}, \frac{\partial \mathbf{x}}{\partial q^\theta} \rangle - \langle \frac{\partial \mathbf{w}}{\partial q^\lambda}, \frac{\partial \mathbf{u}}{\partial q^\theta} \rangle - \langle \frac{\partial \mathbf{n}}{\partial q^\lambda}, \frac{\partial \mathbf{u}}{\partial q^\theta} \rangle$ |

References

- Dehghani, M., ValadanZoej, M. J., Entezam, I., Mansourian, A. & Saatchi, S., 2009- InSAR monitoring of progressive land subsidence in Neyshabour, northeast Iran. Geophysical Journal International, Online Early
- Ernst, L. J., 1980- A finite element approach to shell problems. In: Koiter WT, Mikhailov GK (eds) Theory of shells. North Holland, Amsterdam, pp 241–262.
- Ernst, L. J., 1981- A geometrically nonlinear finite element shell theory. WTHD no. 132, Department of Mechanical Engineering, Delft University of Technology
- Geological Survey of Iran (GSI), 2005- Subsidence and its consequences in Iran and all over the world (in Persian).
- Grafarend, E. W. & Voosoghi, B., 2003- Intrinsic deformation analysis of the Earth's surface based on displacement fields derived from space geodetic measurements. Case studies: present-day deformation patterns of Europe and of the Mediterranean area (ITRF data sets). Journal of Geodesy 77:303-326.
- Hosseini, M., ValadanZoej, M. J., Mobasher, M. R. & Dehghani, M., 2007- Land subsidence monitoring using InSAR and GPS. Map Asia 2007, Kuala Lumpur, Malaysia
- Janparvar, M. & Nairizi, S., 2006- Mashhad plain groundwater management under drought conditions. International Workshop on Ground Water for Emergency Situation, 29-31 October 2006, Tehran, Iran.
- McCarthy, D. D., 1996- IERS Conventions 1996. IERS tech note21 , Observatoire de Paris, Paris
- Motagh, M., Djamous, Y., Walter, T. R., Wetzel, H. U., Zschau, J. & Arabi, S., 2007- Land subsidence in Mashhad Valley, northeast Iran: results from InSAR, levelling and GPS. Geophysical Journal International, 168, 2: 518-526.
- Pietraszkiewicz, W., 1977- Introduction to the non-linear theory of shells. Mitteilungen aus dem institut fuer Mechanik Nr 10, Ruhr-Universitaet Bochum, Germany
- Stein, E., 1980- Variational functionals in the geometrical nonlinear theory of thin shells and finite element discretization with applications to stability problems. In: Koiter WT, Mikhailov GK (eds) Theory of shells, North Holland, Amsterdam, pp 241–262
- Voosoghi, B., 2000- Intrinsic deformation analysis of the earth surface based on 3-D displacement fields derived from space geodetic measurements. PhD Thesis, Department of Geodesy and Geoinformatics, Stuttgart University